

激光宽带聚焦系统的研究

李俊昌

(昆明工学院激光应用研究室)

提要: 从理论上研究了一种简易可行的光学装置, 它可以将单模高斯激光 (TEM_{00}) 会聚为不同尺寸的带形光斑, 并且沿光斑的长度方向具有较均匀的能量分布。

Research of wide-band focusing system for laser beams

Li Junchang

(Laboratory for Laser Applications, Kunming Institute of Technology, Kunming)

Abstract: A simple and feasible optical device is studied theoretically which can focus a monomode Gaussian laser beam (TEM_{00}) into strip spot with varied size and uniform energy distribution along the length of the spot.

一、引言

自从大功率激光器问世以后, 激光对材料表面处理的应用研究获得迅速发展。变激光束能量的高斯分布为方形或带形均匀分布, 实现激光对材料表面的均匀扫描, 是提高表面热处理质量的关键技术。近年来, 国内外对此进行了大量研究(例如文献[1~3])。本文提出一种简单光学系统。理论分析将表明, 它可以将单模高斯光束对称分割, 并在预定加工表面重新迭加成沿长度方向均能分布的带形光斑。由于系统内柱面透镜的单方向放大作用, 可以形成不同尺寸的光斑, 以满足实际应用的需要。

二、光学系统简介

图1为所研究的光学系统示意图。单模

高斯激光沿系统对称轴射向劈形棱镜, 穿过棱镜后被折射为与 y_0 轴对称的两个部份。彼此相互垂直配置的复合柱面透镜再次对光束折射, 从而在系统后垂直于系统对称轴的平

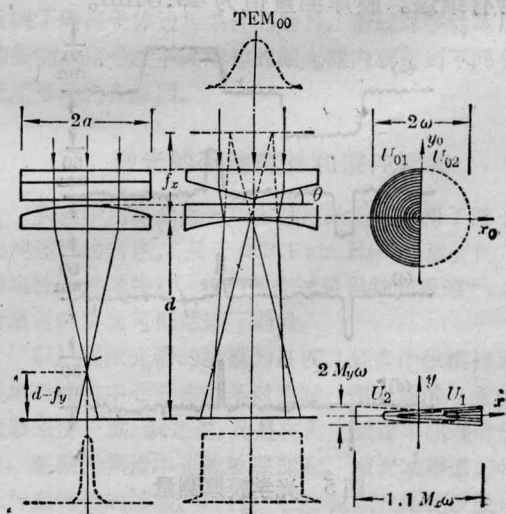


图1 光学系统示意图

收稿日期:1987年4月28日。

面 oxy 上相互迭加。我们将证明, 当迭加光斑在 x 轴方向的宽度为 $1.1 M_x \omega$ 左右时 (M_x 为系统对光场沿 x 方向的横向放大率, ω 为入射高斯光束半径), 将形成沿 x 方向能量分布均匀的带形光斑。

三、理想光束的相干迭加

显然, 由于激光的相干性, 在迭加平面上将得到两瓣 $1/2$ 高斯光束的干涉图样。另外, 光学系统出射光瞳对光束的限制, 不可避免地将发生菲涅耳衍射。但是, 对于所研究情况, 系统出射光瞳口径甚大于光波波长, 我们暂且忽略光波的衍射。

将激光视为平行光, 按照傅里叶光学理论, 波长为 λ , 半径为 ω 的单模高斯光束穿过光学系统后, 某 $1/2$ 光束截面 (见图 1) 在出射平面 $o_0x_0y_0$ 上的复振幅可表为^[4]:

$$U_{01}(x_0, y_0) = \exp\left(-\frac{x_0^2 + y_0^2}{\omega^2}\right) \exp(jkSx_0) \times \exp\left(jk\frac{x_0^2}{2f_x}\right) \exp\left(-jk\frac{y_0^2}{2f_y}\right) \quad (1)$$

式中 $k = 2\pi/\lambda$;

$$\begin{cases} -a \leq x_0 \leq 0, & 2a \text{ 为方形出射透镜的边长;} \\ -a \leq y_0 \leq a \end{cases}$$

$S = (n-1) \operatorname{tg} \theta$, n 为透镜折射系数, $\theta + \frac{\pi}{2}$ 为劈形棱镜的侧面与系统对称轴的夹角; $-f_x, f_y$ 分别为柱面复合透镜的两个焦距。

按照忽略衍射的假设, 并舍弃与能量测量无关的相位因子, 容易证明在光学系统后距离 d 处平面 oxy 上光波的复振幅为:

$$U_1(x, y) = U_1(x) \cdot U_1(y)$$

而

$$U_1(x) = \frac{1}{\sqrt{M_x}} \exp\left[-\frac{(x-Sd)^2}{M_x^2 \omega^2}\right] \times \exp\left[\frac{jk}{2M_x f_x} (x+Sf_x)^2\right],$$

$$U_1(y) = \frac{1}{\sqrt{M_y}} \exp\left(-\frac{y^2}{M_y^2 \omega^2}\right) \times \exp\left(-\frac{jk}{2M_y f_y} y^2\right).$$

式中 $M_x = (d+f_x)/f_x$, $M_y = (f_y-d)/f_y$

由此可见, 光场 $U_{01}(x_0, y_0)$ 经过距离 d 的传播以后, 成为在 x, y 方向上分别放大了 M_x, M_y 倍, 并且向 x 轴的正方向移动了距离 Sd 的光场。

利用几何对称性, 我们直接得出在迭加平面上另一瓣光束的复振幅分布:

$$U_2(x, y) = U_1(-x)U_1(y)$$

于是, 迭加光斑的光能分布可由下式表示:

$$I(x, y) = |U_1(x, y) + U_2(x, y)|^2 = |U_1(x, y)|^2 + |U_2(x, y)|^2 + U_1^*(x, y)U_2(x, y) + U_1(x, y)U_2^*(x, y) \quad (2)$$

将有关各量代入上式, 我们得到:

$$|U_1(x, y)|^2 + |U_2(x, y)|^2 = \frac{1}{M_x M_y} \exp\left(-\frac{2y^2}{M_y^2 \omega^2}\right) \times \left\{ \exp\left[-\frac{2(x+Sd)^2}{M_x^2 \omega^2}\right] + \exp\left[-\frac{2(x-Sd)^2}{M_x^2 \omega^2}\right] \right\} \quad (3)$$

以及

$$U_1^*(x, y)U_2(x, y) + U_1(x, y)U_2^*(x, y) = \frac{2}{M_x M_y} \exp\left(-\frac{2y^2}{M_y^2 \omega^2}\right) \times \exp\left(-2\frac{x^2 + S^2 d^2}{M_x^2 \omega^2}\right) \cos\left(\frac{2\pi}{T} x\right)$$

式中

$$T = \frac{\lambda M_x}{2S} \quad (4)$$

以上结论表明, 两束光在迭加平面上的干涉图样是一序列沿 x 方向等距离 T 分布的干涉条纹。为直观起见, 令 $2Sd = 1.1 M_x \omega$ 以及 $T = \frac{1.1 M_x \omega}{20}$, 图 2 给出了干涉图样在 x 轴方向的能量分布。

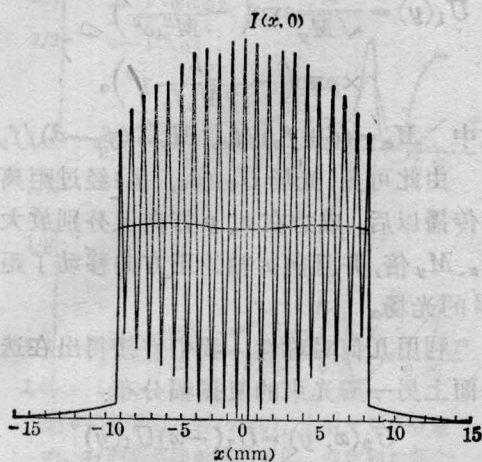


图2 干涉图样在 x 轴上的能量分布形态

$$2Sd = 1.1M_x\omega, T = \frac{1.1M_x\omega}{20}$$

四、形成均能光斑的条件

很明显, 图2所示的这种周期性的能量起伏必然使合成光斑的质量大大下降。但是, 考察(4)式可知, 对于通常涉及的情况, 总满足 $T \ll 1.1M_x\omega$ (例如对于半径 10 mm, 波长 $10.6 \mu\text{m}$ 的 CO_2 激光, 若选择 $n=2.4$ 的硒化锌作透镜材料, 当 $\theta=10^\circ$ 以及 $M_x=2$ 时, 求得 $T=0.043 \text{ mm} \ll 22 \text{ mm}$)。而材料表面对光能的吸收事实上表现为光斑能量分布的局部平均值, 当 T 甚小时, 对于热处理涉及的宏观结果, 合成光斑的能量分布 $\bar{I}(x, y)$ 可以直接由(2)式中前两项满意地描述^[5]:

$$\begin{aligned} \bar{I}(x, y) &= |U_1(x, y)|^2 + |U_2(x, y)|^2 \\ &= \frac{1}{M_x M_y} \exp\left(-\frac{2y^2}{M_y^2 \omega^2}\right) I(x) \end{aligned} \quad (5)$$

式中

$$\begin{aligned} I(x) &= \exp\left[-\frac{2(x+Sd)^2}{M_x^2 \omega^2}\right] \\ &+ \exp\left[-\frac{2(x-Sd)^2}{M_x^2 \omega^2}\right] \end{aligned} \quad (6)$$

分析上式可知, 只要讨论一元函数 $I(x)$ 的性质, 即可确定形成沿 x 方向均能分布的

条件。

很容易证明, 在 $x=0$ 点 $I(x)$ 通常具有极值。并且, 当 $\frac{2Sd}{M_x\omega} > 1$ 时为极小值。反之, 当 $\frac{2Sd}{M_x\omega} < 1$ 时为极大值。也即是说, 当 $\frac{2Sd}{M_x\omega} = 1$ 时, 在 $x=0$ 的某一邻域内, $I(x)$ 可能出现一个平坦的区域。如果光斑的两端 ($x = \pm Sd$) 也包含在这个区域内, 则可能获得一个沿 x 方向能量分布完全均匀的光斑。为此, 我们从(5)式出发, 令 $\bar{I}(0, y) = \bar{I}(\pm Sd, y)$, 考察在该情况下 $\frac{2Sd}{M_x\omega}$ 的数值, 即求解下方程:

$$2\exp\left(-2\frac{S^2d^2}{M_x^2\omega^2}\right) = 1 + \exp\left(-8\frac{S^2d^2}{M_x^2\omega^2}\right)$$

方程的解为:

$$\frac{2Sd}{M_x\omega} \approx 1.104 \quad (7)$$

由于 $1.104 > 1$, 因此 $I(x)$ 在 $x=0$ 处为极小值, 我们不可能获得数学上完全均匀的光斑。但是, 毕竟 1.104 与 1 相差较小, 不妨以(7)式作为迭加条件, 进一步考察获得光斑的情况。

由数学分析可以证明, 这时光斑在两个对称区域 $\bar{I}(\pm 0.368M_x\omega, y)$ 有极大值, 但满足下式:

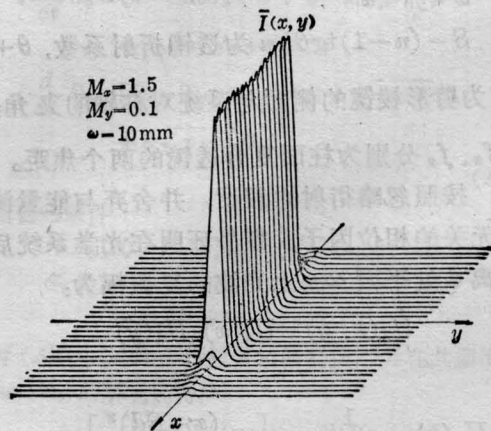


图3 迭加平面上带形光斑的强度分布
($M_x=1.5$, $M_y=0.1$ 以及 $2Sd=1.1M_x\omega$)

$$\frac{\bar{I}(\pm 0.368M_x\omega, y) - \bar{I}(0, y)}{\bar{I}(\pm 0.368M_x\omega, y) + \bar{I}(0, y)} \approx 1.3\%$$

因此,和文献[1]所得出的结论相类似,以(7)式作为形成均能光斑的迭加条件,可以获得足够满意的带形光斑。图3为选择 $M_x=1.5$ 、 $M_y=0.1$ 时利用(5)式绘出的迭加平面上的能量分布,可见在光斑内沿 x 轴方向有相当均匀分布。此外,从(5)式出发,通过进一步分析还可得出,在光斑内聚集了透射光能的97%左右,而光斑两端边沿处外部能量密度和内部之比约为8.1%。

五、衍射对光斑能量分布的畸变

在以上讨论中,尽管我们考虑了激光的相干性,但是纯粹几何光学传播的假设并不能满意地描述光斑的能量分布。因此,有必要计算衍射对光斑能量分布的影响。

按照菲涅耳衍射方程的卷积形式,光学系统后距离 d 处某 $1/2$ 光束(参见图1)的复振幅可以写为^[4]:

$$U_1(x, y) = \frac{\exp(jkd)}{j\lambda d} \iint_{-\infty}^{\infty} U_{01}(x_0, y_0) \times \exp\left\{jk \frac{1}{2d} [(x-x_0)^2 + (y-y_0)^2]\right\} dx_0 dy_0$$

将 $U_{01}(x_0, y_0)$ 代入上式,经整理后得到:

$$U_1(x, y) = \frac{\exp[jkD(x, y)]}{j\lambda d M_x M_y} \int_{-M_x a + Sd}^{Sd} dx_1 \times \int_{-M_y a}^{M_y a} dy_1 \cdot \exp\left[-\frac{y_1^2}{M_y^2 \omega^2}\right] \times \exp\left[j\frac{k}{2M_y d} (y_1 - y)^2\right] \times \exp\left[-\frac{(x_1 - Sd)^2}{M_x^2 \omega^2}\right] \times \exp\left[j\frac{k}{2M_x d} (x_1 - x)^2\right] \quad (8)$$

式中
以及

$$x_1 = x_0 + Sd, y_1 = y_0.$$

$$D(x, y) = \frac{1}{2d} \left[\left(1 + \frac{1}{M_x}\right) x^2 + \left(1 + \frac{1}{M_y}\right) y^2 \right] + \frac{S}{M_x} x + \left(1 + \frac{S^2}{2M_x}\right) d$$

(8)式表明,利用菲涅耳衍射方程,我们类似地也得到这样的结论:在光学系统后距离为 d 的迭加平面上,将得到一个在 x 、 y 方向上分别放大了 M_x 、 M_y 倍,并且向 x 轴正方向平移了距离 Sd 的衍射场。

同样,根据几何对称性,可以直接写出另一瓣 $1/2$ 光束的衍射场。

沿用以上得出的结论,将迭加光斑的光能分布表为两束光在迭加平面上能量分布之和,从而最终可以求得迭加光斑能量分布的表达式。但是,由于表达式无解析解,我们直接进行了数值计算:选择 $\omega=10$ mm, $\lambda=10.6 \mu\text{m}$, $d=150$ mm, $M_x=1.5$ 以及 $M_y=0.1$,图4-A为由数值计算求得的光斑能量分布在 x 轴上的剖面曲线。与忽略衍射时的几何光学近似(图4-B)比较,我们看到,在光斑边沿处较强的衍射条纹破坏了光斑能量分布的均匀性。详细分析可以证明^[3],图中各参数由以下各式表示:

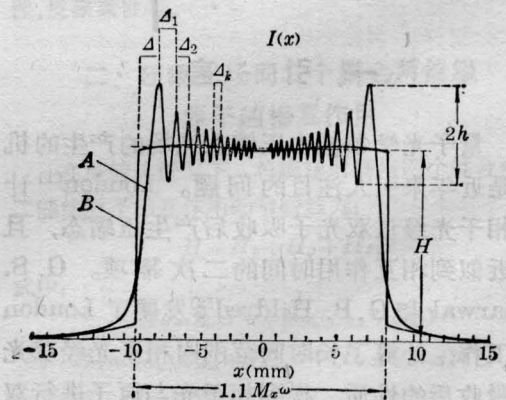


图4 由衍射积分及几何光学求得的在 x 轴上的能量分布比较

(A: 衍射积分, B: 几何光学)

(下转第 651 页)

8块和9块时,腔内650nm激光消失,此处两条曲线非常接近,当腔内有650nm激光振荡时,曲线2随磁铁块的减少激光功率下降比曲线3快得多,650nm激光输出功率越大,633nm激光功率下降越多。同样,633nm激光下降多的这部分功率是通过受激Raman散射过程变成了650nm的激光功率。

从图4可以得到650nm激光的最大输出功率为0.70mW,这时633nm激光输出功率为1.3mW,通过测量腔镜的透过率为 2×10^{-4} ,可推算腔内的激光功率650nm为3.5W,633nm为6.5W,转换效率达35%。对称共焦腔的腰粗 w_0 为

$$w_0 = \left[\frac{\lambda^2}{4\pi^2} (2RL - L^2) \right]^{1/4}$$

当 $R=3m$, $L=127cm$, $w_0=0.050cm$ 。光束的有效截面积 A 为:

$$A = \frac{\pi w_0^2}{1.26} = 6.2 \times 10^{-3} \text{ cm}^2$$

腔内633nm单位面积平均光强 I_p 为:

$$I_p = 1.05 \times 10^3 \text{ W} \cdot \text{cm}^{-2}$$

根据650nm激光输出功率随腔长变化的周期现象,可以估测650nm增益全线宽

(上接第659页)

$$A = \frac{1}{2} (A_0 + B_0);$$

$$A_k = \frac{1}{2} [(A_{2k} + B_{2k}) - (A_{2k-2} + B_{2k-2})]$$

$$(k=1, 2, 3, \dots)$$

$$A_i = \sqrt{(2i+1)\lambda |M_a| d/2},$$

$$B_i = \sqrt{(i+1)\lambda |M_a| d}$$

$$(i=0, 1, 2, \dots); \quad h/H \approx 25\%$$

可见,对于波长一定的激光,衍射条纹的间距与 $\sqrt{|M_a|d}$ 成正比。由于材料表面对光能的吸收为光斑能量分布的局部平均值,只要我们尽可能减小衍射距离 d ,则可能利用装置实现激光对材料表面的均能扫描。

七、结 论

利用光学手段,将单模高斯光束对称分

为80MHz,相应的Raman散射截面为 $1.1 \times 10^{-26} \text{ m}^4 \cdot \text{W}^{-1}$ 。因为 $1S_5$ 是亚稳态,能级寿命为2s, $1S_4$ 相对 $1S_5$ 来说粒子数很少, $1S_5$ 能级粒子数密度为 $6 \times 10^{11} \text{ cm}^{-3}$ 。由公式(5)Raman增益系数:

$$g_R = N \cdot \sigma_R \cdot I_p = 6.6 \times 10^{-2} \text{ m}^{-1}$$

腔内单程损耗约为 10^{-3} m^{-1} 量级,增益大于损耗,所以,Raman激光振荡可以形成。

感谢中国计量科学院赵克功院长的帮助和启发,感谢郑乐民教授提出650nm激光可能是受激Raman过程的启示,感谢王庆吉副教授有益的讨论。感谢上海市玻璃仪器一厂提供的优质膜片。

参 考 文 献

- 1 游大江 *et al.* 中国激光, **11**(1), 34(1984)
- 2 Moore C E. Atomic Energy Levels, **1**, Circular 467 of the US National Bureau of Standards Washington D. C 1949
- 3 赵绥堂 *et al.* 中国激光, **13**(5), 314(1986)
- 4 赵克功, 计量学报, (3), (1987)
- 5 Djeu N *et al.* Appl. Phys. Lett., **30**, 473(1978)
- 6 Heitler W. The Quantum Theory of Radiation, London, England, 1954
- 7 Marcuse D. Principle of Quantum Electronics, Academic, New York, 1980, p. 382

割后,可以重新迭合成沿垂直于分割线方向宽度约高斯光束半径1.1倍的均能光斑。本文所提出的简单光学系统可以方便地对光束进行分割和组合,并能利用柱面镜单方向放大的特性,获得不同宽度及不同能量密度的带形光斑。在大功率激光对材料表面处理的研究和应用中,这种简易可行的激光宽带聚焦系统应能发挥积极作用。

参 考 文 献

- 1 Kawamura Y *et al.* Opt. Commun., **48**, 44(1983)
- 2 Dagenais D M *et al.*, Appl. Opt., **24**, 671(1985)
- 3 Li J C(李俊昌) *et al.* Revue de Physique Appliquée, **218**, 425 (1986)
- 4 Goodman J W. Introduction to Fourier Optics, McGraw Hill Book Cy, N. Y., 1968
- 5 Girardeau-Montaut J P *et al.* Opt. Commun., **57**, 16(1986)